

# محیط‌های رسوبی و گسترش رخسارهای تبخیری اندیزه‌ای (سازند آسماری) در فروافتادگی دزفول و پیرامون آن، جنوب باختری ایران

\*سعیده رحمانی و بهروز رفیعی<sup>۱\*</sup>

<sup>۱</sup>دکترا، گروه زمین‌شناسی، دانشگاه بوعلی سینا، همدان، ایران

<sup>۲</sup>دانشیار، گروه زمین‌شناسی، دانشگاه بوعلی سینا، همدان، ایران

تاریخ پذیرش: ۱۳۹۶/۰۳/۰۴ تاریخ دریافت: ۱۳۹۷/۰۵/۱۴

## چکیده

سازند آسماری متشکل از رخسارهای کربناته و گاهی تبخیری در زمان الیگو-میوسن نهشته شده است. واحد تبخیری که در بخش پایینی سازند آسماری قرار دارد اندیزه‌ای قاعده‌ای نامیده می‌شود. به منظور بررسی و ارائه مدل رسوبی این واحد تبخیری، اندیزه‌ای قاعده‌ای و رخسارهای همراه در برش‌های سطحی و نگارهای چاه‌پیمایی در فروافتادگی دزفول بررسی شدند. با بررسی از هفت برش سطحی در تاقدیس‌های بنگستان، سفید، آسماری و اناران، هفت ریزرخساره کربناته از دو زیرمحیط پنهان کشندی و لاگون در قاعده سازند آسماری شناسایی شد. این رخساره اندیزه‌ای شامل یک توده تبخیری مجرا و بدون اجزای کربناته است. در این واحد تبخیری دو بافت ریزبیلور (آلابستر) و درشت‌بلور (بوروفیروblast) تشخیص داده شده که از تبدیل اندیزه‌ای به ژیپس به وجود آمده است. با توجه به بررسی و تفسیر نگارهای گاما، نوترونی، صوتی و چگالی ۲۰ چاه از ۱۵ میدان نفتی فروافتادگی دزفول مشخص شد که اندیزه‌ای و هالیت در قاعده سازند آسماری نهشته شده‌اند. اندیزه‌ای در بیشتر چاه‌های فروافتادگی دزفول و هالیت با مقدار کمی اندیزه‌ای در سه چاه در مرکز حوضه فروافتادگی دزفول حضور دارد. بر اساس نتایج حاصل از بررسی نگارهای چاه‌پیمایی و ریزرخسارهای سازند آسماری، مدل محیط رسوبی اندیزه‌ای نشان از یک محیط رسوبی آب کم عمق- حوضه کم عمق دارد.

**کلیدواژه‌ها:** اندیزه‌ای، فروافتادگی دزفول، سازند آسماری، نگارهای ژئوفیزیکی.

**\*نویسنده مسئول:** بهروز رفیعی

E-mail: b\_rafiei@basu.ac.ir

## ۱- پیش‌نوشتار

همچنین با توجه به اینکه اندیزه‌ای قاعده‌ای یکی از واحدهای سنگی مهم سازند مخزنی آسماری و مرتبط با سنگ منشأ پابده است، بنابراین نتایج حاصل از بررسی کلی و نیز ارائه مدل رسوبی اندیزه‌ای قاعده‌ای برای پژوهش‌های صنعت نفت اهمیت دارد. این پژوهش به منظور شناخت ویژگی‌های رخساره تبخیری و محیط رسوبی اندیزه‌ای قاعده سازند آسماری انجام شده است.

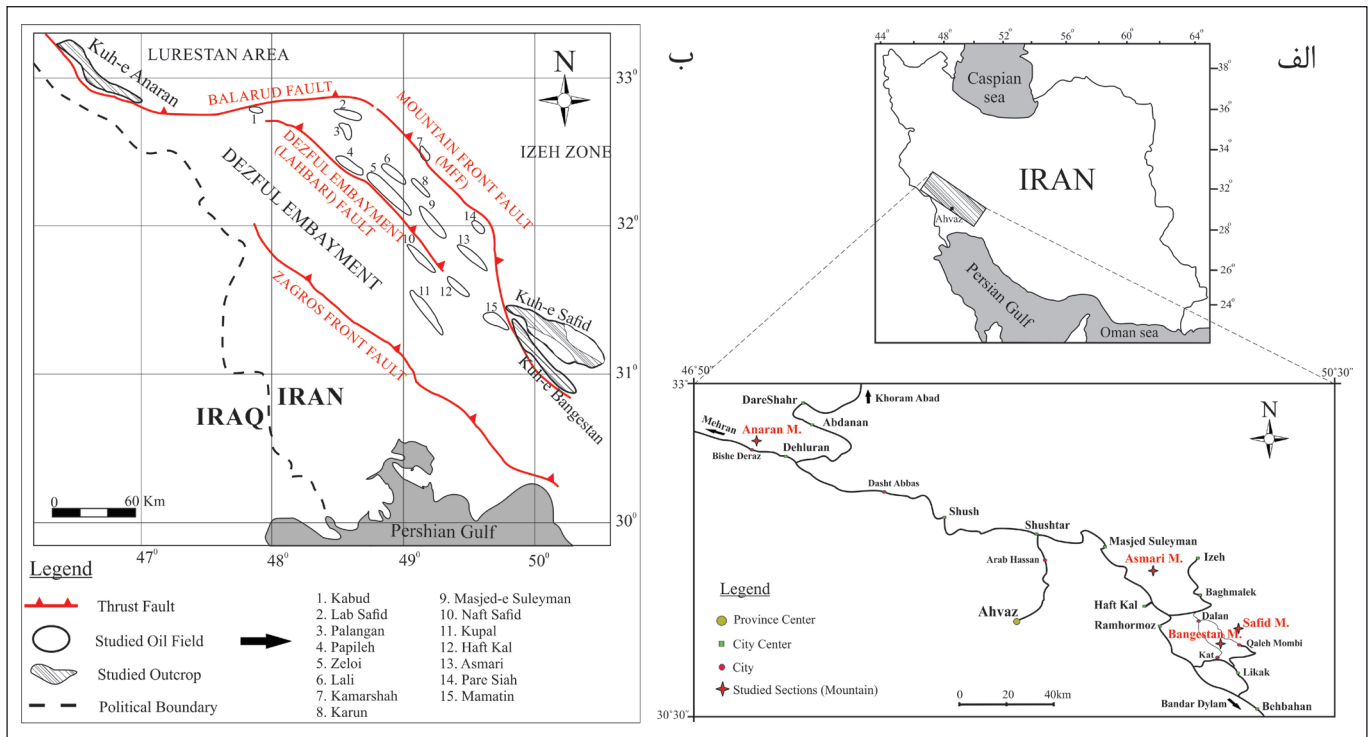
## ۲- جایگاه جغرافیایی و زمین‌شناسی منطقه

منطقه مورد پژوهش از نظر جغرافیایی در محدوده استان‌های خوزستان، که گلیویه و بویراحمد و ایلام قرار گرفته است. در این محدوده تاقدیس‌های بنگستان، سفید، آسماری و اناران (شامل ۷ برش سطحی) وجود دارند (شکل ۱- الف و جدول ۱). از نظر زمین‌شناسی، برش‌های سطحی و میدان‌های نفتی مورد مطالعه در مرز زون اینده و فروافتادگی دزفول، در فروافتادگی دزفول و لرستان در زون ساختاری زاگرس واقع شده‌اند. فروافتادگی دزفول بین گسل‌های پیشانی کوهستان در شمال خاور، خمس بالارود در شمال باختر و گسل کازرون در جنوب خاور، بخشی از خارجی ترین قسمت‌های کوهزاد زاگرس را تشکیل می‌دهد. این فروافتادگی نسبت به مناطق همچوار از نظر زمین‌ساختی پایدارتر است و نسبت به گسل بالارود، پیشانی کوهستان و کازرون بین ۳۰۰۰ تا ۶۰۰۰ متر فروافتاده است (مطیعی، ۱۳۷۴). در درون فروافتادگی دزفول تعدادی خطواره‌های شمالی- جنوبی و خاوری- باختری دیده می‌شود. برخی پژوهشگران (مطیعی، ۱۳۷۴؛ آقاباتی، ۱۳۸۳) منشأ ساختارهای مشابه با آنها، مانند خمس بالارود و پهنه گسلی کازرون را به گسل‌های راست‌لغزه‌زرف بی‌سنگ نسبت داده‌اند که در طول کرتاسه پسین فعال بوده‌اند. قدیمی‌ترین رسوبات رخمنون یافته در منطقه مورد مطالعه را سازند داریان با سن آلین و جوان ترین رسوبات این منطقه را رسوبات بختیاری با سن پیلوتوسین تشکیل می‌دهند. به احتمال زیاد از الیگومن به بعد، رسوب گذاری آب‌های کم عمق در حوضه زاگرس شروع می‌شود و در شاتین پسین، یک سد اقیانوسی و حوضه را تشکیل می‌دهد که در نتیجه آن یک حوضه درون پلتفرمی (ایترالسف) جدا شده ایجاد شده است. در اکی تانین اندیزه‌ای قاعده سازند

در تاریخچه زمین‌شناسی، سنگ‌های رسوبی دارای کانی‌های تبخیری به وفور مشاهده می‌شوند. رایج‌ترین کانی‌های تبخیری سولفات کلسیم، ژیپس و اندیزه‌ای هستند (Boggs, 2009). ژیپس در نهشته‌های تبخیری امروزی فراوان‌تر از اندیزه‌ای بوده در حالی که اندیزه‌ای نسبت به سطح، در عمق فراوان‌تر است و در نهشته‌هایی که در عمق بیش از ۶۱۰ متر (حداکثر ۱۳۰۰ متر) دفن می‌شوند، از آب‌زدایی ژیپس به وجود می‌آید (Boggs, 2009). اهمیت مطالعه تبخیری‌ها علاوه بر ارزش اقتصادی آنها، وجود ارتباط نزدیک بین نهشته‌های تبخیری و مخازن نفتی است. سازند آسماری با سن الیگومن- میوسن مهم‌ترین سنگ‌مixin نفت در حوضه رسوبی زاگرس بوده، که دارای برتری رخساره‌های کربناته و عدیسه‌های ماسه‌ای، شیلی و ندرتاً تبخیری است (مطیعی، ۱۳۷۲). بخش تبخیری کله (عدمتأثراً ژیپس) و لایه‌های اندیزه‌ای موجود در قاعده سازند از مهم‌ترین رسوبات تبخیری سازند آسماری هستند. لایه‌های تبخیری که در بخش پایینی سازند آسماری قرار دارند اندیزه‌ای قاعده‌ای Adams (Basal Anhydrite) (Namideh می‌شوند. (1968) گسترش تبخیری‌های سازند آسماری را از مرز عراق و لرستان به سمت خاور تا میدان‌های مسجدسلیمان، لالی، نفت سفید، و هفتکل می‌داند که در انتهای خاوری کوه بنگستان ناپدید می‌شوند. سازند آسماری در مرز مشترک فروافتادگی دزفول و زون ساختمانی اینده و در محدوده تاقدیس‌های بنگستان و کوه سفید به طور ناگهانی تغییر رخساره می‌دهد و به رخساره‌های کربناته کم عمق و تبخیری تبدیل می‌شود. اندیزه‌ای قاعده سازند آسماری در این تاقدیس‌ها را خمنون دارد و به راحتی قابل دسترس است. پژوهشگران مختلفی اندیزه‌ای قاعده‌ای، رخساره‌های کربناته همراه آن و بخش تبخیری کله را James and Wynd, 1965; Van Buchem et al., 2010; Kavoosi and Sherkati, 2012 مورد بررسی قرار داده‌اند. اما بیشتر این بررسی‌ها به صورت موردنی و منطقه‌ای بوده است. مطالعه موردنی و نیز یکسان نبودن ماهیت سنگ‌شناسی سازند آسماری در فروافتادگی دزفول، موجب شده است که یک مدل رسوبی جامع و کامل برای سازند آسماری ارائه نشده باشد. اندیزه‌ای قاعده‌ای دارای ارزش زمانی بوده که قابلیت تطبیق داشته و بررسی آن برای ارائه مدل رسوبی جامع سازند آسماری ضروری است.

حوضه درون پلتفرمی افزایش یافته و منجر به محدود و بسته شدن محیط رسوی شده است (صیرفیان و همکاران، ۱۳۸۶). جایگاه زمین شناسی بر شهری و میدان های فنگی مورد بررسی در این پژوهش در شکل ۱-ب دیده می شود.

آسماری در مرکز حوضه درون پلترفمر نهشته شده‌اند. فرایند لازم جهت تهنشست این رسوبات تبخیری، پایین آمدن سطح آب دریاست که در پلترف سبب خارج شدن رسوبات از آب می‌شود. در اکی تانین به دلیل عدم ارتباط با آب‌های آزاد، شوری در



شکل ۱-الف) جایگاه جغرافیایی و راههای دسترسی منطقه مورد مطالعه (Bakhtiari, 2009؛ ب) جایگاه جغرافیایی برش‌های سطحی، میدان‌های نفتی مورد مطالعه و گسل‌های اصلی منطقه (برگرفته از .Sherkati and Letouzey, 2004؛ Berberian and King, 1981)

#### جدول ۱- حابگاه و سشنه سهای، خسارت اندیشه، هفت برش مطالعه.

نام برش	تک آبگرمک	تک پوتو	تک ماغر	تک نایاب	تک بولفارس	تک گلترش	افاران
محل برش	کوه سفید	کوه سفید	کوه بینگستان	کوه بینگستان	کوه بینگستان	کوه آسماری	کوه اثاران
(m)	۱۰	۱۵	۴	۱۲	۱۲	۷	

۳- روش پژوهش

و با فواید متر انجام گرفت. در این مرحله ۱۲۰ نمونه از واحد تبیخیری برداشت شد. علاوه بر آن به منظور بررسی دقیق‌تر مرزهای سنگ‌چینه‌ای، ۴۰ نمونه از رسوبات بالا (الایه‌های تدریجی یا بخش کربناته برسوسپسیس دار سازند آسماری) و رسوبات پایین (استروماتولیت باندستون یا سازند پابده) انیدریت قاعده‌ای برداشت شد. در مطالعه سنگ‌شناسی برای نمونه‌های تبیخیری بر اساس (Ortí et al. 2010) و (Abdioglu et al. 2015) و (Warren 2016) و برای کربنات‌ها بر اساس روش Dunham (1962) جهت توصیف بافت و اجزای تشکیل‌دهنده سنگ و نام‌گذاری آنها استفاده شد. برای توصیف شرایط محیط رسوبی از طبقه‌بندی‌های Flügel (2010) و Wilson (1975)، Buxton and Pedley (1989) استفاده شده است.

در مطالعات سطحی ۷ برش دارای رخمنون ایندیریت قاعده‌ای از ۴ تاقدیس انتخاب شد. این برش‌ها شامل ۳ برش چینه‌شناسی سطحی از یال جنوبی تاقدیس بنگستان، دو برش از یال جنوبی کوه سفید، یک برش در کوه آسماری و یک برش در کوه اناران است. تاقدیس‌های بنگستان و کوه سفید در مرز مشترک فروافتادگی دزفول و زون اینده قرار دارند و مکان مناسبی برای بررسی و مقایسه ایندیریت قاعده‌ای با برش‌های زیرزمینی هستند. کوه آسماری به عنوان محل برش الگوی سازند آسماری مقایسه درستی بر روی تبیخیری‌های سازند آسماری انجام داد. در برش‌های سطحی، از محل یا حداقل ضخامت ایندیریت قاعده‌ای، نمونه‌برداری به صورت سیستماتیک

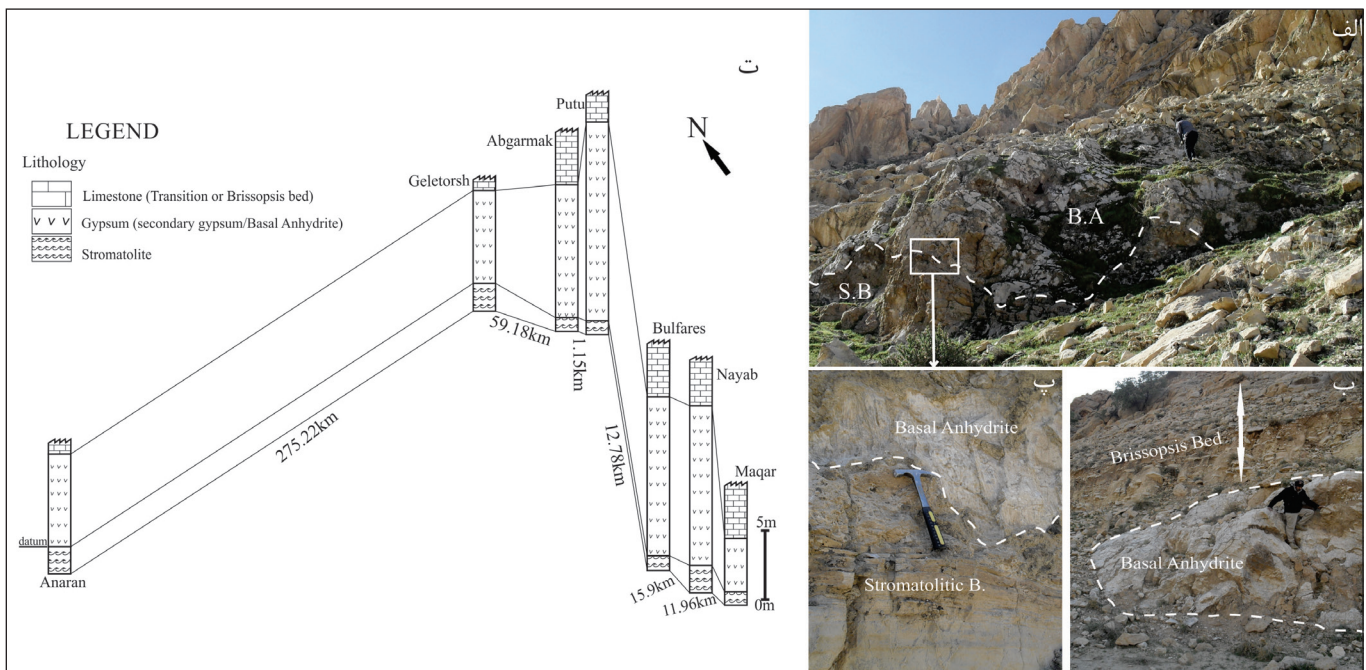
#### ۴- رخسارهای رسوبی در برش‌های سطحی

واحد تبخیری مورد مطالعه اندیریت قاعده‌ای از سازند آسماری است که سن اکی تانین از میوسن پایینی را برای آن در نظر گرفته‌اند (James and Wynd, 1965; Adams and Bourgeois, 1967; Van Buchem et al., 2010) در همه برش‌های مطالعه دو واحد رخساره‌ای متفاوت (کربناته) در پایین و بالای اندیریت قاعده‌ای قابل شناسایی است که به ترتیب شامل استروماتولیت باندستون و طبقات کربناته منسوب به طبقات بریسوپسیس دار هستند (شکل ۲). سن طبقات کربناته بریسوپسیس دار اکی تانین در نظر گرفته شده است (Adams and Bourgeois, 1967; James and Wynd, 1965؛ مطیعی؛ ۱۳۷۲). طبقات کربناته بریسوپسیس دار در برش‌های مورد مطالعه، فسیل بریسوپسیس ندارند. بنابراین در این پژوهش لایه تدریجی (کربنات-تبخیری) نامیده شده است که البته در ادامه به طبقات کربناته بریسوپسیس دار تبدیل می‌شود.

ویژگی‌های محیط رسوبی تبخیری‌ها بر اساس نظرات Warren (2006 and 2016) و تأثیرات (2016)

موردن بررسی قرار گرفته است.

با توجه به گزارش‌های شرکت ملی مناطق نفت خیز جنوب (۱۳۹۰) و رحمانی (۱۳۹۶)، میزان بازیافت خرددهای حفاری از لایه‌های تبخیری پایین بوده و در پیشتر چاههای موردن مطالعه از همه قسمت‌های سازند آسماری بهویژه رخساره‌ی تبخیری، مغزه‌گیری صورت نگرفته است. بنابراین در مطالعات زیرسطحی، ۲۰ حلقه چاه از ۱۵ میدان نفتی انتخاب شد و ویژگی‌های سنگ‌شناسی و نگار گاما (۱۷ حلقه چاه)، نگار کاما (۱۶ حلقه چاه)، نگار صوتی (۱۲ حلقه چاه) و نگار چگالی (۱۲ حلقه چاه) آنها مورد مطالعه قرار گرفت. چاههای انتخاب شده نزدیک برش‌های سطحی یا بر اساس تعییر در رسوبات قاعده سازند آسماری در فروافتادگی ذوق است. در نهایت به بررسی نحوه گسترش و شکل واحد تبخیری و محیط رسوبی اندیریت قاعده‌ای و ارائه مدل رسوبی بر اساس مدل رسوبی نهشته‌های تبخیری (Warren 1989) و Kendall (1992) پرداخته می‌شود.

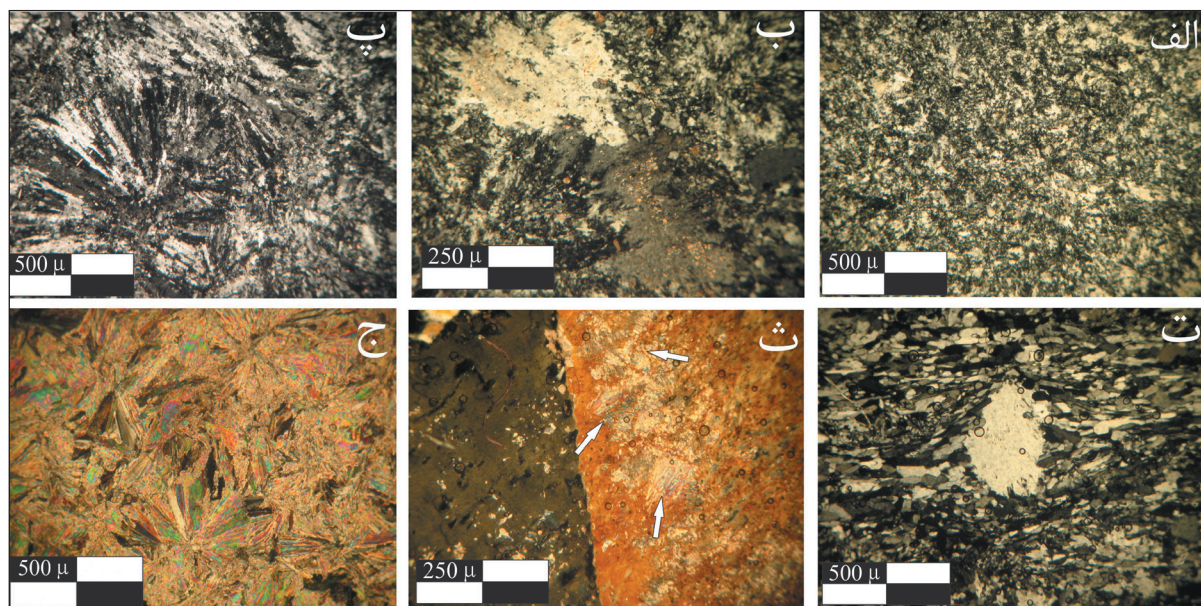


شکل ۲- رخمنون اندیریت قاعده‌ای. (الف) استروماتولیت باندستون (S.B) در پایین اندیریت قاعده‌ای (B.A) در تنگ بولفارس؛ (ب) طبقات کربناته بریسوپسیس دار در قسمت بالای اندیریت قاعده‌ای در تنگ ماغر؛ (پ) نمای نزدیک از مزین استروماتولیت باندستون و اندیریت قاعده‌ای (طول چکش: ۳۰ cm؛ ت) موقعیت اندیریت قاعده‌ای در سازند آسماری در هفت برش موردن مطالعه.

اندیریت در برش‌های مورد مطالعه تنها به صورت ندول باقیمانده از اندیریت اولیه و یا بقایایی از اندیریت در ژیپس ثانویه وجود دارد (شکل ۳-ث). بافت میکروسکوپی اندیریت ندولی به صورت شعاعی (شکل گل آفتابگردان یا گل رز) یا بادبزنی شکل است (شکل ۳-ج). بافت پورفیروبلاست اندیریت باقیمانده بیشتری نسبت به بافت آلاماستر دارد (Ortí et al., 2012). به طور کلی در منطقه موردن مطالعه ژیپس ثانویه با بافت غالب آلاماستر و پورفیروبلاست حضور دارد که دارای بقایای اندیریت است. در واقع اندیریت قاعده‌ای اندیریت اولیه دارد که با نزدیک شدن به سطح زمین (رخمنون یافتن) آب‌گیری کرده و به ژیپس‌های ثانویه با بافت آلاماستر و پورفیروبلاست تبدیل شده است.

#### ۵- ویژگی‌های بافتی اندیریت قاعده‌ای

مطالعات سنگ‌نگاری اندیریت قاعده‌ای نشان می‌دهد که این واحد تبخیری از ژیپس ثانویه تشکیل شده است. از شواهد ثانویه بودن این ژیپس‌ها می‌توان به حضور بافت آلاماستر، پورفیروبلاست و فیبری (Ortí et al., 2010; Abdioğlu et al., 2015; Warren, 2016؛ پورفیروبلاست و فیبری) اشاره کرد (شکل ۳). علاوه بر اینها، بافت دینامیکی نیز در مقاطع قابل شناسایی بوده و مهم‌ترین بافت دینامیکی، بافت چشمی (augen) است. این بافت ژیپس آمیز به همراه ژیپس ردیفی-جریانی (aligned-flowing) دارد (شکل ۳-ت) در مقاطع اشاره کرد (شکل ۳). بافت دینامیکی نیز در مقاطع قابل شناسایی بوده و مهم‌ترین بافت دینامیکی، بافت چشمی (augen) است. این بافت ژیپس آمیز به همراه ژیپس ردیفی-جریانی (aligned-flowing) دارد (شکل ۳-ت) در تبخیری‌ها ناشی (Rafiee and Rahmani, 2017) (bioturbation). حضور بافت آشفته (Rafiee and Rahmani, 2017) از خاصیت پلاستیکی تبخیری‌ها و غایلیت زمین ساختی در منطقه است (Urai et al., 2008). این بافت در بعضی از مقاطع نازک مشاهده شده است.



شکل ۳- انواع بافت‌های موجود در انیدریت قاعده‌ای مناطق مورد مطالعه. (الف) بافت پورفیروبلاست، تنگ گل ترش (GT1)؛ (پ) بافت فیبری، تنگ آبگرمک (AB4)؛ (ت) بافت چشمی تنگ آبگرمک، (AB1)؛ (ث) بافت پورفیروبلاست با بقایای انیدریت (پیکان)، تنگ بولفارس (BL9)؛ (ج) انیدریت ندولی با بافت شعاعی، تنگ آبگرمک (AB7).

## ۶- توصیف ریز رخسارهای کربناته

بر اساس مطالعات انجام شده بر روی مقاطع نازک کربناته (طبقات زیرین و بالای انیدریت قاعده‌ای)، ۷ ریز رخساره شناسایی شد که به ترتیب کاهش عمق شامل زیرمحیط‌های لاغون (A)، ایتراتیدال (B) و سوپراتایدال (C) است.

### ۶-۱. مجموعه رخسارهای لاغونی

- پکستون حاوی روزن بر کفسی میلیولیدا (A1: Benthic foraminifera packstone): حدود ۵۰ تا ۴۵ درصد از اجزای تشکیل دهنده این ریز رخساره از روزن بر کفسی میلیولیدا در زمینه میکرایتی و با جورشدگی نسبتاً خوب تشکیل شده است (شکل ۴-الف). مقادیر بسیار کمی (حدود ۱ درصد) از قطعات خرد شده اکینوئدم به همراه میلیولیدا وجود دارد. میکرایتی شدن آلومینیتی از فرایندهای دیاژنیزی مهم در نمونه هاست (شکل ۴-ب).

• تفسیرو: با توجه به میکرایتی بودن و فراوانی روزن بر میلیولیدا، این ریز رخساره نشانگر یک محیط محدود شده (نیمه شور تا بسیار شور)، کم عمق و نزدیک به پهنه کشیدی یک لاغون است (Flügel, 2010). درجه شوری آب در این محیط بیشتر از آب دریا بوده و به همین علت تنوع موجودات کم است. بر اساس شواهد می‌توان این ریز رخساره را مشابه کمرنده رخساره ای شماره دو (laggon) Buxton and Pedley (1989) (and Pedley 1989) و کمرنده رخساره ای شماره هشت (Wilson 1975) و RMF-19 (Wilson 1975) دانست که متعلق به رمپ داخلی است.

- وکستون بایوکلاستی (A2: Bioclast wackestone): این ریز رخساره از قطعات بایوکلاستی مختلف در زمینه ای از میکرایت تشکیل شده است. قطعات بایوکلاستی شامل ۱۵ تا ۲۰ درصد خرددهای دوکفه‌ای و کمتر از ۵ درصد استراکدام، شکم‌پا و پلت با جورشدگی کم هستند. فرایند دیاژنیزی سیمانی شدن (سیمان حفره پرکن) فضای داخلی دوکفه‌ایها و شکم‌پا بیان را پر کرده است. همچنین پوسته موجودات توسط کلیست درشت بلور جانشین شده است که نشان از فرایند نئومرفیسم دارد (شکل ۴-پ). دولومیتی شدن از دیگر فرایندهای دیاژنیزی غالب است.

• تفسیرو: بافت گلی غالب به همراه مقدار و تنوع کم از آلومینیتی می‌تواند حاکی از محیط محدود شده، کم عمق و کم انرژی باشد. این ریز رخساره مشابه کمرنده

رخساره شماره دو (Buxton and Pedley 1989)، کمرنده رخساره ای شماره هشت (Wilson 1975) و RMF-18 Flügel (2010) است که رسوب گذاری در شرایط لاغونی را نشان می‌دهد. در مقایسه با طبقه‌بندی (Burchette and Wright 1992) نیز Burchette and Wright (1992) مشخصات رخساره‌های رمپ داخلی را نشان می‌دهد.

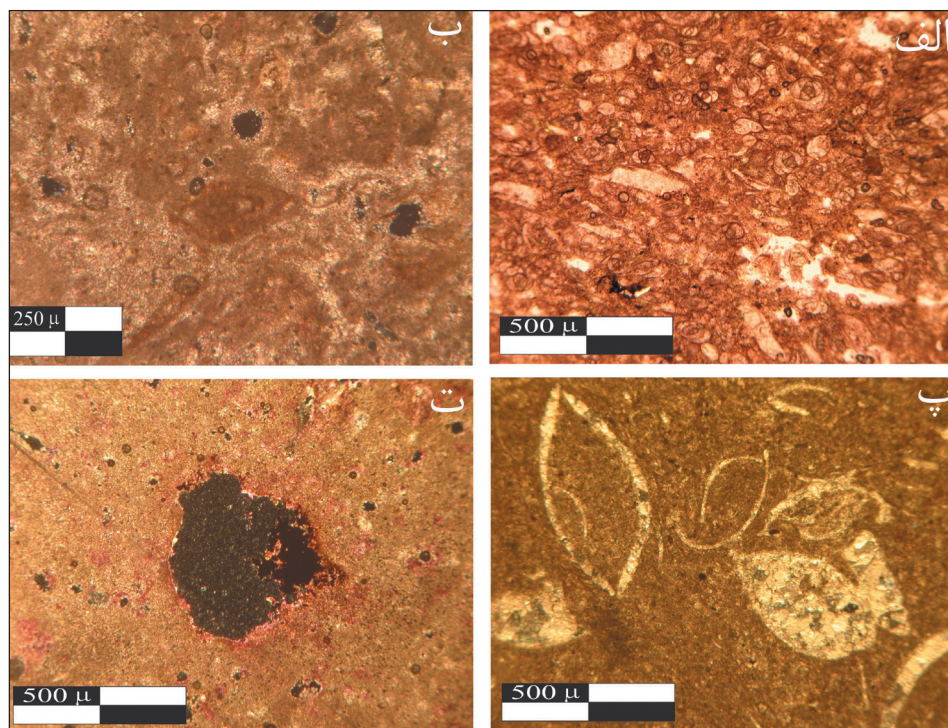
- مادستون (A3: Lime mudstone): این ریز رخساره از میکرایت همگن بسیار ریزدانه تشکیل شده است؛ آلومینیت و ساختمان خاصی نیز در آن مشاهده نمی‌شود و در بعضی مناطق به ماده آلی آغشته هستند. انحلال و دولومیتی شدن مهم ترین عارضه دیاژنیزی مشاهده شده در این ریز رخساره است (شکل ۴-ت).

• تفسیرو: این ریز رخساره مربوط به محیط محدود و با انرژی پایین، خیلی کم عمق و بخش لاغون رو به پهنه کشندی است (Vaziri-Moghaddam et al., 2010). Flügel, 2010; Vaziri-Moghaddam et al., 2010) مشابه ریز رخساره استاندارد شماره بیست و سه (Wilson 1975) و RMF-19 (Wilson 1975) و Flügel (2010) و متعلق به کمرنده رخساره ای شماره نه (تبخیری‌های پلاتکترم یا سابقاً) است. همچنین مشخصات آن شبیه رخساره شماره یک (پری تایدال) Buxton and Pedley (1989) است و خصوصیات رمپ داخلی Burchette and Wright (1992) را نشان می‌دهد و معرف بخش بالایی رمپ داخلی است.

### ۶-۲. مجموعه رخسارهای پهنه میان کشندی

- مادستون ایتراکلاستی (B1: Interclast mudstone): ایتراکلاست ها با فراوانی کمتر از ۱۰ درصد، آلومینیت اصلی این ریز رخساره هستند که به صورت پراکنده در زمینه ای از میکرایت مشاهده می‌شوند (شکل ۵-الف). از مهم ترین فرایندهای دیاژنیزی می‌توان به فرایند دولومیتی شدن (به مقدار کم) در زمینه اشاره کرد.

• تفسیرو: ایتراکلاست ها نشانه خروج موقتی رسوبات از آب هستند. بنابراین این ریز رخساره در بخش بالایی محیط میان کشندی تشکیل شده است. مشخصات سنگ شناسی و نوع آلومینیت این ریز رخساره مشابه رخساره های توصیف شده از کمرنده رخساره ای شماره یک (Buxton and Pedley 1989) و مربوط به ناحیه بالای میان کشندی، شماره هشت (Wilson 1975) و RMF-24 Flügel (2010) مربوط به محیط پهنه میان کشندی است.



شکل ۴- تصاویر میکروسکوپی. (الف) پکستون دارای روزنبرهای کفتزی، تنگ ماغر (CA,MA6)؛ (ب) فرایند میکرایتی شدن آلوکمها، تنگ ماغر (CA,MA4)؛ (پ) وکستون با یوکلاستی با فرایند سیمانی شدن فضای داخلی آلوکمها و نئومرفیسم شدن پوسته آنها، تنگ آبگرمک (CA,AB1)؛ (ت) مادستون بدون آلوکم (فرایند دیاژنزی دولومیتی شدن زمینه و انحلال)، تنگ نایاب (CA, NA4).

**- ژپس و ایندیریت (C2: Gypsum and anhydrite)**: این رخساره قادر هر گونه عناصر اسکلتی و غیر اسکلتی (شکل ۵-ث) و دارای ایندیریت و ژپس (گاهی کربنات) بوده که در اثر افت سطح آب دریا و محدود شدن حوضه تشکیل شده است. به دلیل نفوذ آب سطحی و رقیق شدن سورابه حوضه، آلتراسیون ایندیریت به ژپس و بلورهای ژپس ثانویه با تیغه های ایندیریت خورده شده در مقاطع مورد مطالعه دیده می شود. ژپسی شدن مهم ترین فرایند دیاژنزی رخساره است.

**• تفسیر:** با توجه به مشخصه های اصلی می توان آن را مشابه کمریند رخساره ای شماره نه (تبخیری های پلاتiform یا سبیخا) (Wilson, 1975) و یا رخساره پری تایdal در طبقه بندی (Buxton and Pedley, 1989) دانست. این رخساره در مدل معروفی شده توسط (2010) Flügel به محیط رسوبی پری تایdal (RMF-25) نسبت داده شده و در مقایسه با طبقه بندی (Burchette and Wright, 1992) Burchette and Wright مشخصات رخساره های رمپ داخلی را نشان می دهد که متعلق به محیط پهنه فراکشنده است.

ستون چینه شناسی، گسترش قائم ریز رخساره ها و ارتباط آنها با یکدیگر برای ۷ برش سطحی مورد مطالعه در شکل ۶ آورده شده است.

## ۷- مدل محیط رسوبی

### ۷-۱. رخساره های کربناته

محققان زیادی با بررسی های انجام شده بر روی سازند آسماری در حوضه فروافتادگی دزفول و حاشیه آن، محیط رسوبی این سازند را رمپ کربناته معرفی کردند (Adams and Bourgeois, 1967; Vaziri-Moghaddam et al., 2010). با توجه به پیشینه پژوهش هایی که در منطقه مورد مطالعه بر روی سازند آسماری توسط صیرفیان و همکاران (۱۳۸۶) و رحمانی (۱۳۹۰) صورت گرفته است، محیط رسوبی این سازند مربوط به رمپ خارجی تا محیط لاگون (همراه با محیط رسوبی سد در رمپ داخلی) است.

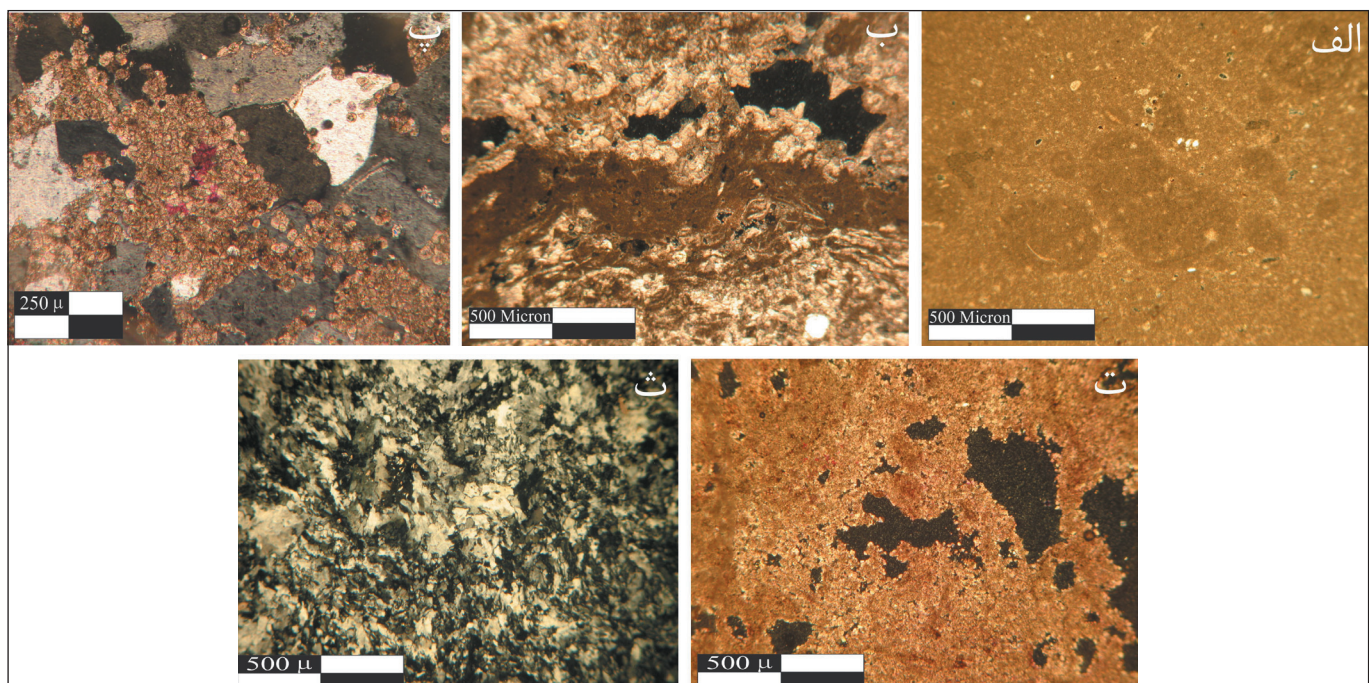
**- استروماتولیت باندستون (B2: Stromatolite boundstone)**: این ریز رخساره از لایه های استروماتولیتی تشکیل شده است که حاصل رشد و نمو رشته های جلبک های سبز-آبی و دارای ساختمان نواری و لایه لایه است (شکل ۵-ب). فابریک فنترال، آثار ایندیریت و دولومیتی شدن در آن مشاهده شده و ژپس به طور محلی در این رخساره قابل مشاهده است (شکل ۵-پ). سیمانی شدن اولیه نقش مهمی در حفظ ساختمان و بافت اولیه استروماتولیت دارد (Flügel, 2010).

**• تفسیر:** این ریز رخساره می تواند در بخش بالایی میان کشنده تا پهنه فراکشنده پایینی ایجاد شود (Warren, 2006). ولی وجود عوارضی از قبیل فابریک فنترال، ایندیریت و دولومیتی شدن نشان از تشکیل این ریز رخساره در بخش های بالایی پهنه میان کشنده دارد. بر اساس طبقه بندی (Buxton and Pedley, 1989) مربوط به محیط پری تایdal و کمریند رخساره ای شماره یک بوده و می توان آن را مشابه ریز رخساره استاندارد شماره بیست کمریند رخساره ای شماره نه (تبخیری های پلاتiform یا سبیخا) (Wilson, 1975) و RMF-23 Flügel (2010) و (Burchette and Wright, 1992) در مقایسه با تقسیم بندی

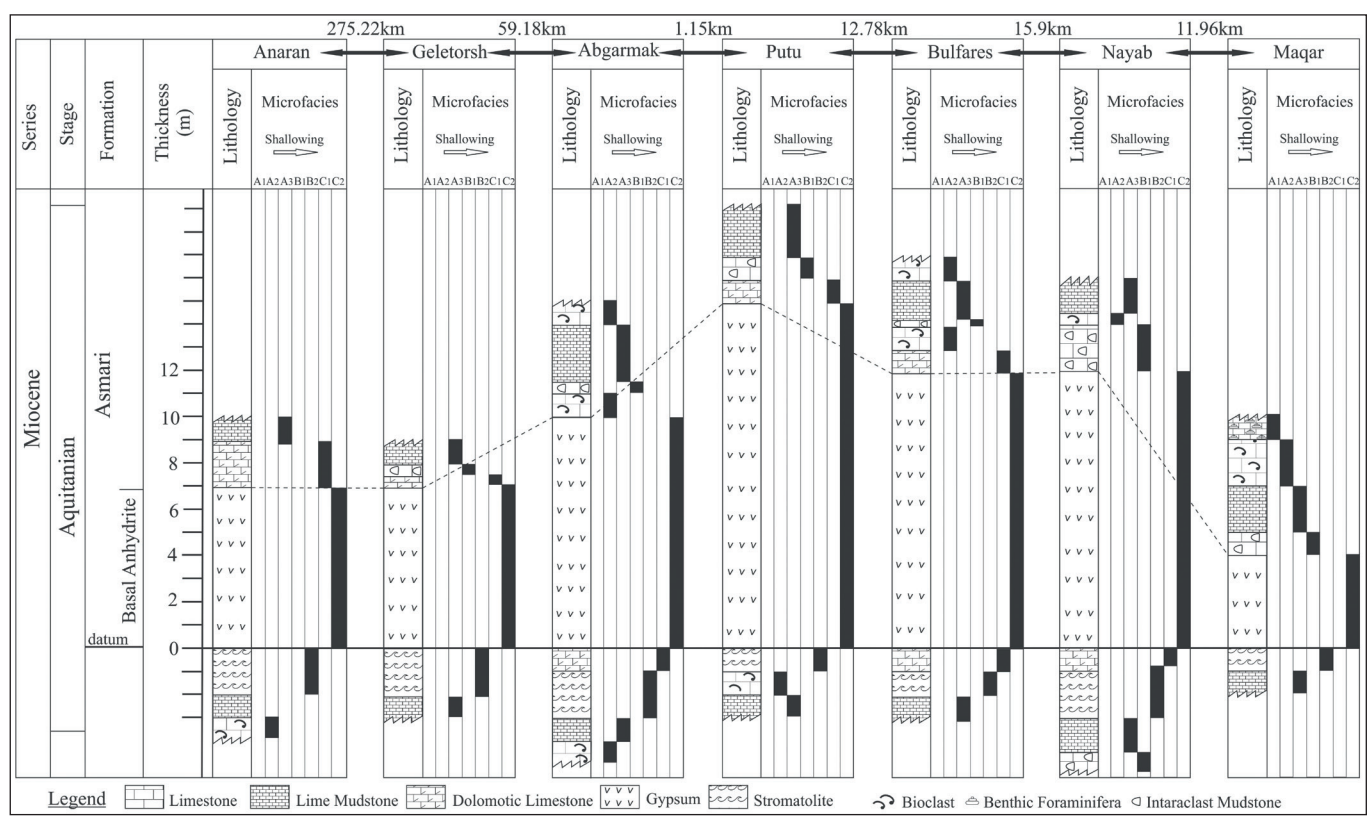
### ۶-۳. مجموعه رخساره ای پهنه فراکشنده

**- دولومیکرایت (C1: Dolomiticrite)**: دولومیت های مورد مطالعه در بخش زیرین سازند آسماری از نوع اول و به صورت بلورهای کوچک (کمتر از ۱۶ میکرومتر) و متراکم، دارای مرزهای مسطح نیمه شکل دار هستند. در این ریز رخساره، آلوکمی مشاهده نشده است (شکل ۵-ت). کانی تبخیری در متن سنگ مشاهده می شود.

**• تفسیر:** فور بلورهای دولومیت نشان از منطقه فراکشنده یا سبیخا دارد (Warren, 2006). به طور کلی با توجه به خصوصیات ذکر شده این ریز رخساره مربوط به محیط فراکشنده است که می توان آن را مشابه کمریند رخساره ای شماره نه (تبخیری های پلاتiform یا سبیخا) (Wilson, 1975) و RMF-22 Flügel (2010) و کمریند رخساره ای شماره یک (پری تایdal) (Buxton and Pedley, 1989) دانست. همچنین بر اساس طبقه بندی (Burchette and Wright, 1992) متعلق به رمپ داخلی است.



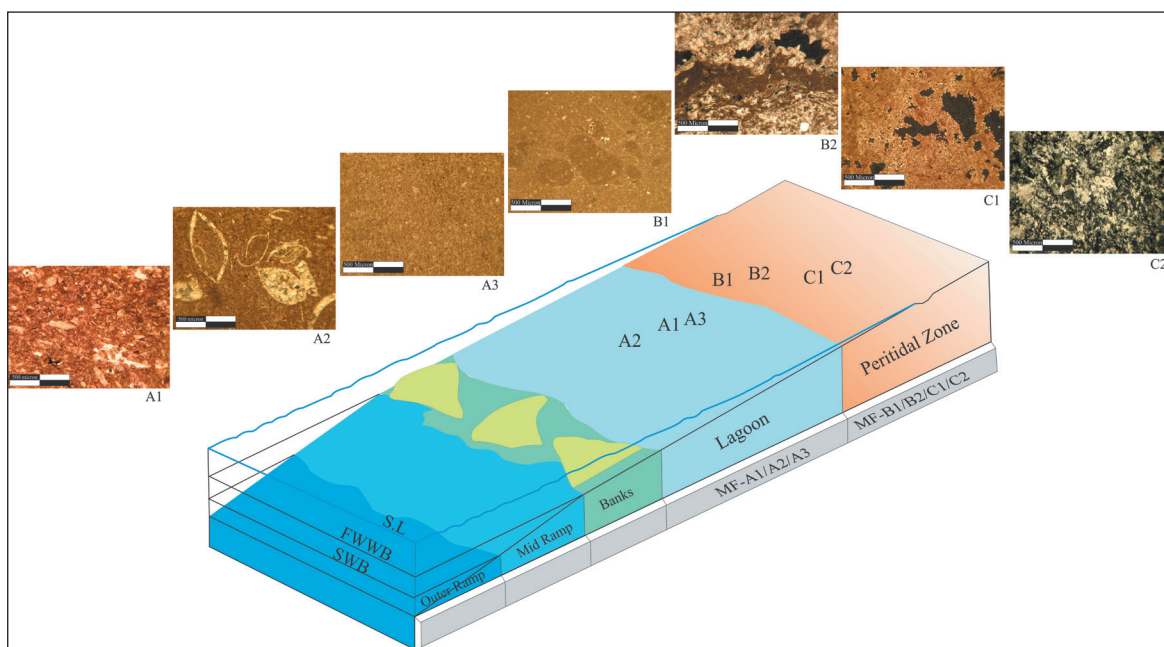
شکل ۵- (الف) مادستون اینتراکلسنی، تنگ آبگرمک (CA,AB3)، (ب) استروماتولیت باندستون با فابریک فنسترهای، تنگ بولفارس (SB,BL2)، (پ) حضور ژپس و دولومیت در استروماتولیت باندستون، تنگ بولفارس (SB,BL2)، (ت) دولومیکرات. بش اناران (CA,AR1). بخش‌های تیره تخلخل هستند؛ ث ژپس ثانویه حاصل آب‌گیری ایندیریت با بافت آلاماستر، تنگ پوتون (PT6).



شکل ۶- ستون چینه‌شناسی هفت بش سطحی مورد مطالعه.

است. شایان ذکر است که مجموعه رخساره‌های یک و دو در محدوده بالای سطح اساس امواج عادی (FWWB) جای دارند (شکل ۷). همچنین در این پژوهش مشخص شد که توالی نسبتاً باریکی معروف به لایه‌های تدریجی (کربنات-تبخیری) که در زیر سنگ آهک تودهای سازند آسماری و بالای ایندریت قاعده‌ای قرار گرفته است، در قسمت پایین ایندریت قاعده‌ای (و یا در زیر استروماتولیت باندستون) تمام مناطق مورد پژوهش دیده می‌شود. این مطلب نشان از تغییرات سطح آب دریا و تأثیر بر افت و خیز سطح آب محیط لاغونی و پهنه کشنده دارد.

با توجه به مشخصات اصلی ریزرخساره‌های مشاهده شده در این پژوهش و مقایسه آنها با انواع ریزرخساره‌های توصیف شده از محیط‌های شناسایی شده و با درنظر گرفتن زیرمحیط‌های اصلی توصیف شده در رمپ‌های کربناته، مجموع ریزرخساره‌های مورد مطالعه، در محیط‌های رسوبی لاغون و پهنه کشنده تهشیش شده‌اند. این مجموعه ریزرخساره‌ها و محیط رسوبی مشخصات رمپ کربناتی تهشیش شده‌اند. این مجموعه کمریند رخساره‌ای شماره یک و دو و در طبقه‌بندی Buxton and Pedley (1989) مشابه کمریندهای رخساره‌ای شماره هشت و نه Wilson (1975) و Flügel (2010)



شکل ۷- بلوك دياگرام از مدل محیط رسوبی پیشنهادی رمپ کربناته برای سازند آسماری در مناطق مورد مطالعه. موقعیت ریزرخساره‌ها، سطوح انژی اصلی برای کمریند رخساره‌ای اصلی (FWWB, SWB) در شکل مشخص شده است.

یک لاغون تبخیری بوده که از آب دریا و به صورت نشت آب به محیط لاغون Z تغذیه می‌شود. در این شرایط تبخیری‌های حوضچه‌های نمک‌گیری غالباً هستند و شاخه‌های پهنه‌های گلی خشکی (subaerial mudflat) (مانند ترک‌های خشکی، کارست، عوارض فرسایشی، بافت‌های جابه جا شده) به طرف بالای واحد و به طرف خشکی (landward) و دشت‌های به سمت دریا (plains seaward) افزایش می‌یابد (Warren, 2006 and 2016).

در منطقه مورد مطالعه ژیپس ثانویه با بافت غالب آلاستر و پورفیروblast حضور دارد که دارای بقایای ایندریتی است. ژیپس‌های پورفیروblast نشان‌دهنده خروج آندریت ندولی از ناحیه اشباع (phreatic) غیرفعال به عمیق‌ترین بخش از ناحیه اشباع فعال هستند، در واقع آندریت با نزدیک شدن به سطح زمین، به ژیپس‌های ثانویه با بافت آلاستر و پورفیروblast تبدیل می‌شود (Warren, 2016 and 2010). با توجه به ویژگی‌های بافتی و عدم مشاهده تبخیری‌های پهنه گلی (مانند حالت‌های لانه مرغی و انترولیتیک) و نیز گسترش سد در رمپ کربناته سازند آسماری (صیرفیان و همکاران ۱۳۸۶؛ رحمانی ۱۳۹۰)، می‌توان ایندریت قاعده‌ای سازند آسماری را به محیط حوضچه‌های نمک‌گیری نسبت داد که در یک محیط مجزا و تحت تأثیر آب دریا تشکیل شده است (شکل ۸-پ). به طور کلی در منطقه مورد مطالعه فدان رسویات غنی از مواد آلی در قاعده رسویات و حضور رخساره‌های مناطق کم عمق نشان از

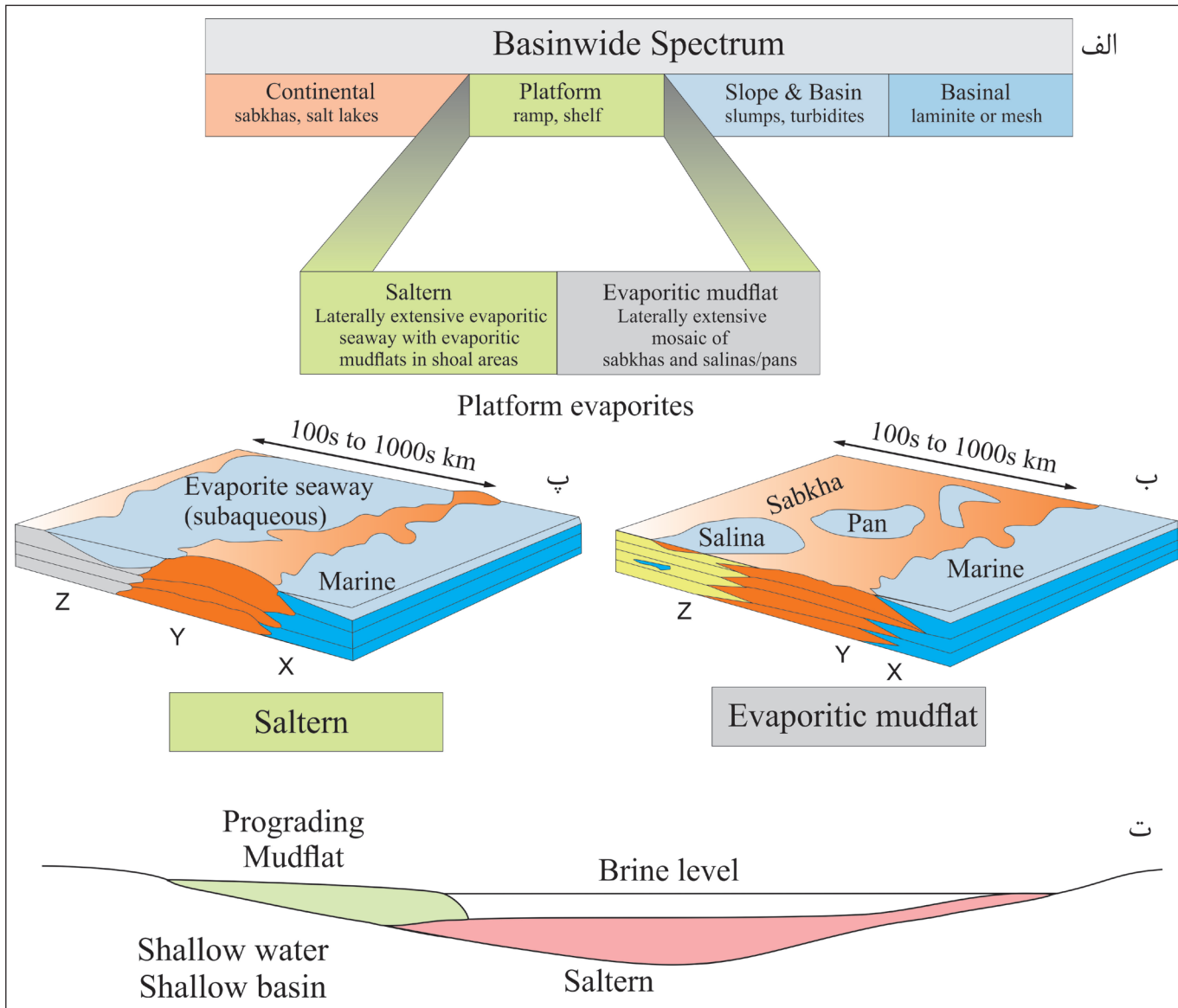
## ۲-۲. رخساره تبخیری

رسویات تبخیری در محیط‌های مختلف نهشته می‌شوند. بر اساس بررسی‌های انجام شده بر روی رخساره‌های کربناته، محیط رسوب گذاری سازند آسماری در منطقه مورد مطالعه رمپ کربناته معرفی شد. (Kavoosi and Sherkati (2012) و Daraei et al. (2014) در منطقه لرستان و فروافتادگی دزفول، ایندریت قاعده‌ای را یکی از واحدهای عضو کلهر معرفی کرده‌اند که در نتیجه پایین افتادگی سطح آب دریا در محیطی مجزا در رمپ کربناته تشکیل شده است. با توجه به تقسیم‌بندی محیط‌های تبخیری ارائه شده توسط Warren (2006 and 2016) برای محیط تشکیل نهشته‌های تبخیری در منطقه مورد مطالعه می‌توان محیط حوضچه‌های نمک‌گیری (سالترن) یا پهنه گلی را معرفی کرد (شکل ۸-الف).

محیط رمپ کربناته بر اساس میزان انژی هیدرولیکی به سه زون Y، X و Z تقسیم‌بندی می‌شود (Irwin, 1965). در شکل‌های ۸-ب و ۸-پ محیط رسوبی حوضچه‌های نمک‌گیری و پهنه گلی نشان داده شده است. تنوع توالی تبخیری‌های نهشته شده در زون Z کاملاً وابسته به فیزیوگرافی نسبی زون Y است. اگر زون Y یک خط ساحلی (shoreline) با بر جستگی کم و گسترش خوب باشد، در سیاری از بخش‌های زون Z یک پهنه گلی تبخیری، موزاییکی از سایخاها و شورابه‌ها گسترش می‌یابد. حال اگر زون Y یک سد (shoal) با بر جستگی بالاتر باشد، زون

در چرخه‌های تبخیری درون رمپ را نشان می‌دهد که با توجه به مدل‌های ارائه شده توسط (Warren 1989) و (Kendall 1992) در آب کم عمق و حوضه کم عمق نهشته شده است (شکل ۸-ت).

محیط رسوی کم عمق دارد. از طرفی بافت‌های منطقه کم عمق به عنوان بافت غالب تبخیری بوده و در این حوضه بیشتر شرایط حوضچه‌های نمک‌گیری (کم عمق) حاکم بوده است، بنابراین ایندیریت قاعده‌ای، نهشته‌های حوضچه‌های نمک‌گیری



شکل ۸-الف) جایگاه و موقعیت نهشته‌های تبخیری (Irwin, 1965)، ب) مدل محیط رسوی پنهانی گلی؛ پ) بلوک دیاگرام از مدل محیط رسوی پنهانی حوضچه‌های نمک‌گیری برای نهشته تبخیری در منطقه مورد مطالعه (Irwin, 1965)؛ ت) مدل رسوی پنهانی آب کم عمق - حوضه کم عمق برای نهشته‌های تبخیری منطقه مورد مطالعه (Warren, 1989; Kendall, 1992).

سازند آسماری هستند و چاههایی که عمدتاً در بخش مرکزی فروافتادگی دزفول قرار دارند، مانند زیلابی (A) و (B)، لالی (B)، کارون (A)، کبود و ماماتین دارای رخساره تبخیری با ضخامت‌های متغیر هستند (شکل ۹). ضخامت رخساره تبخیری از چاههای حاشیه شمال باخترا و جنوب خاور فروافتادگی دزفول (کبود و ماماتین) به سمت چاههای مرکزی (زیلابی، لالی و کارون) کاهش می‌یابد.

#### ۲-۲. نگار نوترونی

رخساره‌هایی همانند ماسه سنگ تمیز نیز دارای مقدار عددی صفر در نگار گاماستند، نگار گاما به تنها نمی‌تواند مشخص کننده کانی تبخیری در سازند باشد.

#### ۸-۱. بررسی رخساره تبخیری در زیرسطح و ارائه مدل محیط رسوی

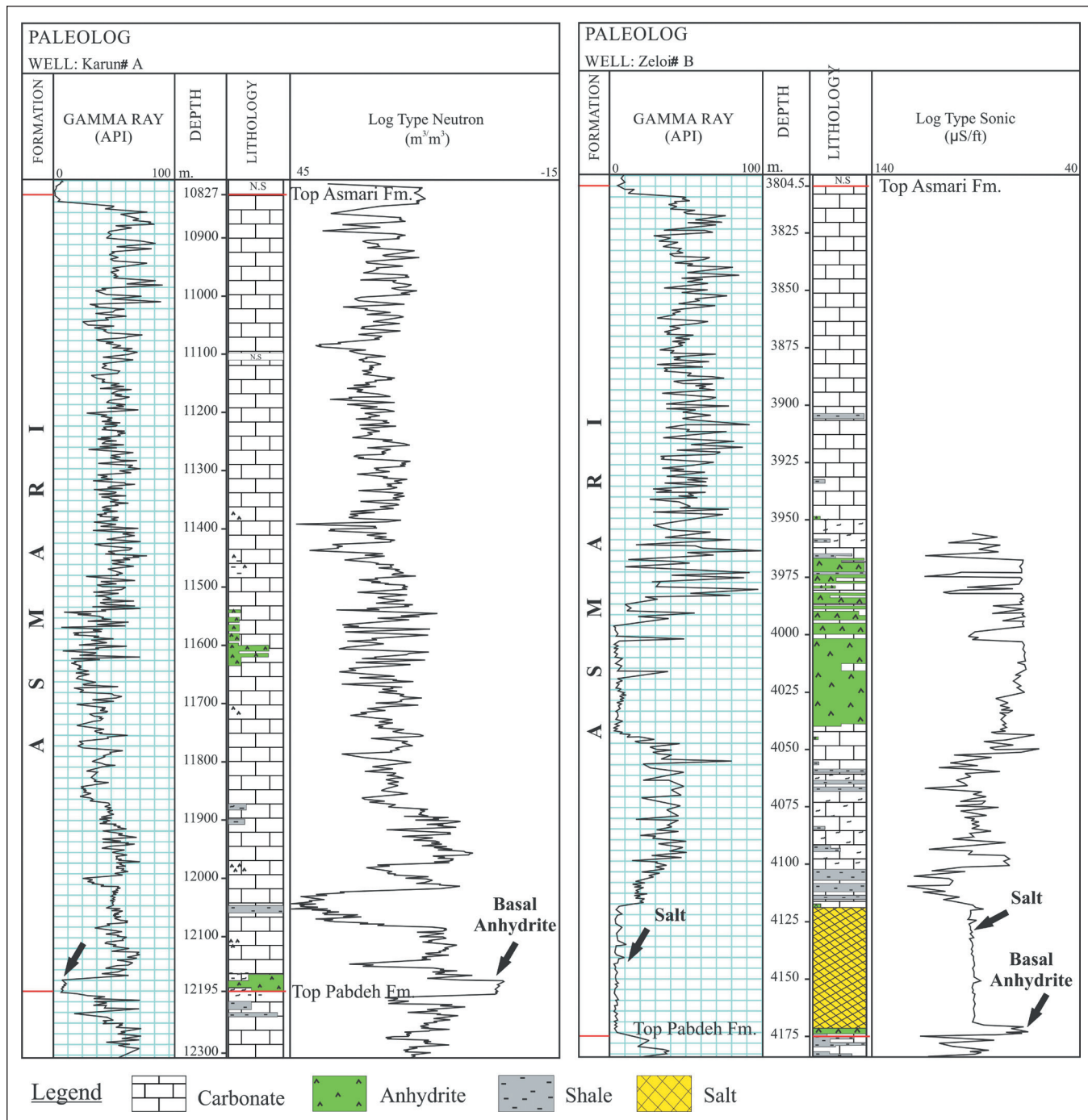
به منظور بررسی گسترش، روند تغییرات رخساره‌ها و نوع کانی تبخیری در بخش پایینی سازند آسماری در چاههای موجود در منطقه مورد پژوهش، از نمودارهای چاه‌پیمایی مانند نگار گاما، نگار صوتی، نگار نوترونی و نگار چگالی استفاده شده است.

#### ۸-۲. نگار گاما

مقدار عددی حاصل از نگار گاما برای کانی‌های تبخیری نزدیک صفر است (Guyotte, 1993; Tiab and Donaldson, 2004). بررسی‌های انجام شده بر روی نگار گاما ۱۷ حلقه چاه نشان داد که چاههای لب سفید و پلنگان در حاشیه شمالی و کوپال در قسمت جنوبی فروافتادگی دزفول بدون رخساره تبخیری در بخش پایینی

برای ژیپس (کانی آب دار) مخالف صفر ( $\Phi_{CNL}=49\%$ ) است (Guyotte, 1993). با تلفیق داده های نگار گاما و نگار نوترونی ۱۲ حلقة چاه، محدوده رخساره تبخیری و نوع کانی تبخیری شناسایی شد (شکل ۹).

نگار نوترونی یک نگار تخلخل (تخلخل نوترونی) است که مقدار هیدروزن را در لایه رسوبی اندازه گیری می کند. از آنجایی که انیدریت در ترکیب خود آب ندارد، مقدار داده نگار نوترون نزدیک صفر است، در حالی که مقدار این داده



شکل ۹- نگار گاما و نوترونی برای شناسایی محدوده رخساره تبخیری (پیکان) و کانی تبخیری انیدریت در چاه کارون (A)، نگار صوتی برای تشخیص هالیت و انیدریت در چاه زیلانی (B).  
شرکت ملی مناطق نفت خیز جنوب، (۱۳۹۰).

نگار و با در کنار هم قرار دادن ۴ نگار مورد بررسی و مقایسه آنها، می‌توان محدوده رخساره و نوع کانی تبخری و ضخامت هر یک را در بخش پایینی سازند آسماری مشخص کرد (جدول ۲). شایان ذکر است که ژیپس در هیچ یک از چاههای مورد بررسی مشاهده نشده است (شکل ۱۰).

## ۹- گسترش جانبی رخساره تبخری

رونده تغییر ضخامت ایندیریت قاعده‌ای در فروافتادگی دزفول نشان می‌دهد که حداقل ضخامت این واحد در قسمت شمالی حوضه (ضخامت صفر) و حداقل ضخامت این واحد مربوط به حاشیه شمال باخترا (چاه کبود با ۴۶ متر ضخامت) و بخش نزدیک به مرکز حوضه (چاه پایله با ۳۵ متر ضخامت) است (شکل ۱۱-الف). به سمت مرکز حوضه و چاههای دارای هالیت، ضخامت ایندیریت کاهش می‌یابد. روند تغییر ضخامت هالیت همراه ایندیریت در نقشه هم ضخامت نشان از حداقل ضخامت هالیت (حدود ۱۰۰ متر) و حداقل ضخامت ایندیریت (۳ متر) در مرکز حوضه فروافتادگی دزفول و حداقل ضخامت هالیت (ضخامت صفر) در اطراف این حوضه دارد (شکل ۱۱-ب). برای مقایسه و در کم بهتر تغییرات جانبی رخساره‌ها در راستاهای غیر یکسان از نمودار نرده‌ای استفاده شده است. با توجه به شکل ۱۱-پ ایندیریت تقریباً در تمام بخش‌های حوضه فروافتادگی دزفول با ضخامت متغیر گسترش یافته در حالی که هالیت تنها در دو محدوده مشخص نهشته شده است. بنابراین می‌توان حوضه بزرگ فروافتادگی دزفول را به دو زیر‌حوضه تقسیم کرد که در هر یک از این زیر‌حوضه‌ها ایندیریت در حاشیه و هالیت در مرکز حوضه نهشته شده است.

## ۱۰-۳. نگار صوتی

سرعت امواج صوت در لیتولوژی‌های مختلف، متفاوت است و بر حسب زمان رفت و برگشت صوت ( $\Delta t$ ) می‌توان نوع لیتولوژی را مشخص کرد. مقدار ( $\Delta t$ ) برای ایندیریت، ژیپس و هالیت (نمک) به ترتیب برابر با  $50$ ,  $52-53$ ,  $66/7 \mu\text{sec}/\text{ft}$  است (Guyotte, 1993; Tiab and Donaldson, 2004) بنابراین برای مشخص کردن نوع کانی تبخری (ایندریت، ژیپس و هالیت) در نمونه‌های زیرسطحی می‌توان از نگار صوتی استفاده کرد. با توجه به بررسی‌های انجام شده بر روی نگار صوتی ۱۲ حلقه چاه مشخص شد که چاههای مرکزی فروافتادگی دزفول مانند زیلایی (B)، هفتکل (B) و نفت سفید دارای نمک (هالیت) و ایندیریت قاعده‌ای هستند (شکل ۹).

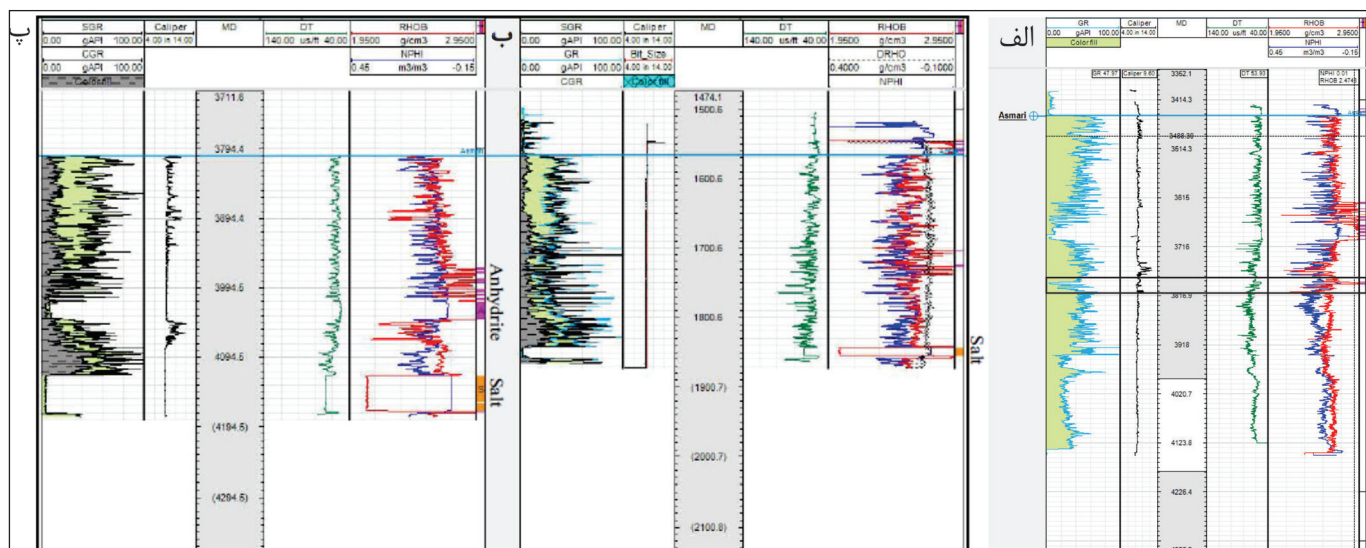
## ۱۰-۴. نگار چگالی

میزان پرتو بازگشته از پرتوهای رادیواکتیویته گاما به چگالی و میزان تخلخل سنگ بستگی دارد. از آنجایی که کانی تبخری خالص و بدون تخلخل است، بنابراین چگالی خاص خود را نشان می‌دهد و تخلخل آنها صفر است. چگالی ایندیریت، ژیپس و نمک به ترتیب ( $\text{g/cm}^3$ )  $2.32$ ,  $2.98$  و  $2$  است (Guyotte, 1993; Tiab and Donaldson, 2004). با بررسی نگار چگالی ۱۲ حلقه چاه مشخص شد که  $8$  حلقه چاه مرکزی فروافتادگی دزفول دارای ایندیریت (زیلایی (A) و (B)، کارون (A) و (B)، مسجد سلیمان (B)، هفتکل (B)، کبود و نفت سفید)،  $3$  حلقه چاه در مرکز فروافتادگی دزفول دارای لایه‌های ایندیریت و نمک (زیلایی (B)، هفتکل (B) و نفت سفید) و یک حلقه چاه در قسمت جنوبی فروافتادگی دزفول (کوپال) بدون کانی تبخری هستند. به طور کلی با توجه به داده‌های شاخص برای هر کانی تبخری در هر

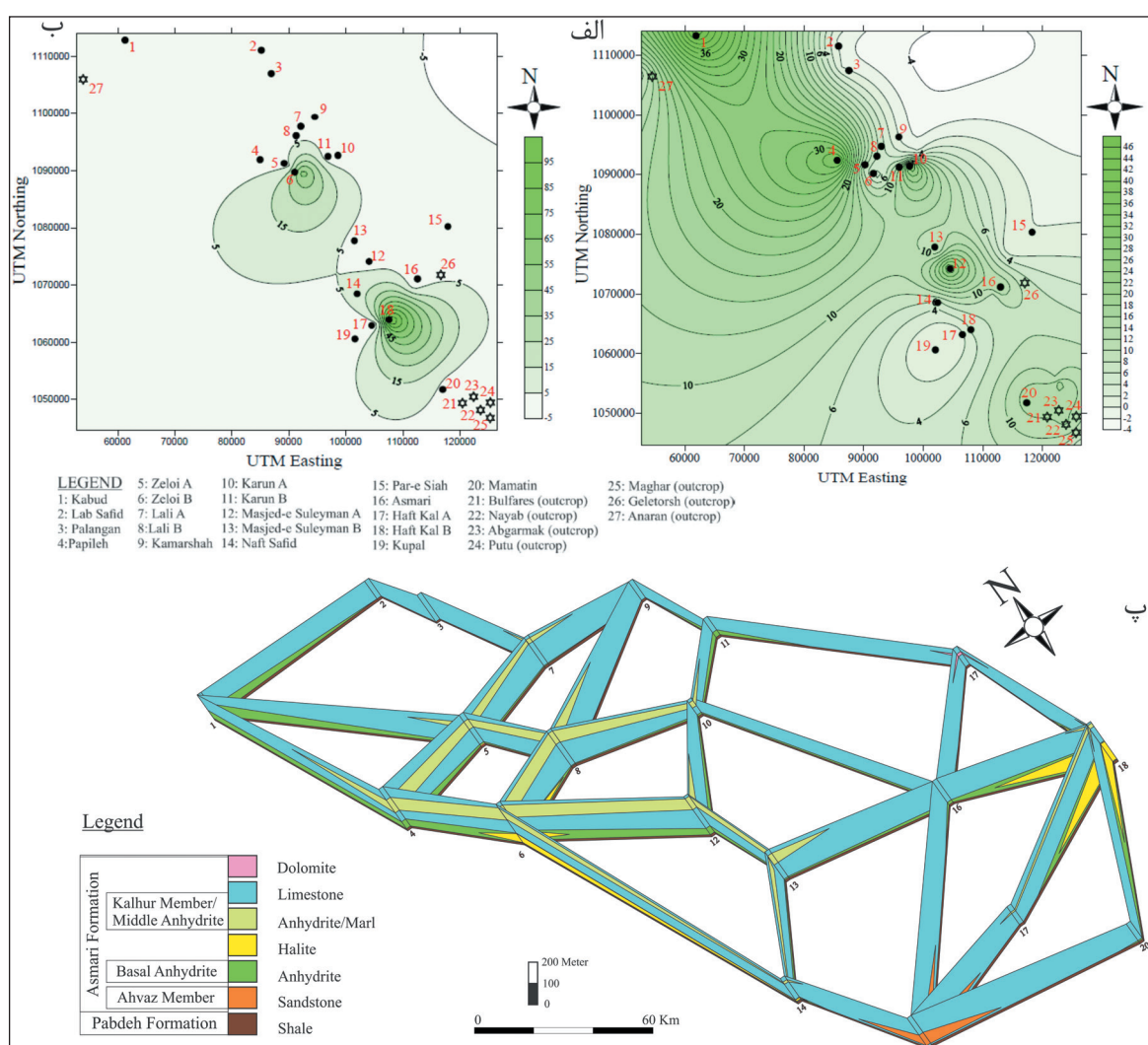
جدول ۲- ضخامت لایه تبخری ایندیریت و هالیت و عمق حضور ایندیریت قاعده‌ای در ۲۰ چاه مورد بررسی در زون فروافتادگی دزفول. وجود انواع نگارهای ژئوفیزیکی به تفکیک برای هر چاه مشخص شده است.

(m)	(m)	(m)	اندیریت (m)	نگار چگالی	نگار صوتی	نگار نوترونی	نگار گاما	چاه
۵۹۵۰	---	۴۶	*	*	*	*	*	کبود
---	---	---		*		*	*	لب سفید
---	---	---		*			*	پلگان
۵۱۶۰	---	۳۵						پایله
۳۷۹۳	۳	۸	*	*	*	*	*	زیلایی (A)
۴۱۷۰	۵۲	۳	*	*	*	*	*	زیلایی (B)
۱۵۷۶	---	۵					*	لای (A)
۲۴۵۲	---	۶	*	*	*	*	*	لای (B)
۹۷۱۸	---	۴					*	کمرشاه
۱۲۱۹۵	---	۲۷	*	*	*	*	*	کارون (A)
۳۸۱۱	---	۹	*	*	*	*	*	کارون (B)
۲۵۵۰	---	۲۵						مسجد سلیمان (A)
۷۵۶	---	۸	*	*	*	*	*	مسجد سلیمان (B)
۱۸۵۹	۱۲	۵	*	*	*	*	*	نفت سفید
---	---	---	*	*			*	پرسیاه
۳۴۱	---	۱۳						آسماری
---	---	---	*	*	*	*	*	هفتکل (A)
۱۵۱۹	۱۰۰	۴	*	*	*	*	*	هفتکل (B)
---	---	---	*	*	*	*	*	کوپال
۷۰۲	---	۱۴				*	*	ماماتین

(\*) دارای نگار



شکل ۱۰- لگهای گاما (GR)، صوتی (DT)، نوترنونی (RHOB) برای چاههای: (الف) زیلاجی (NPHI) و چگالی (RHOB) محدوده و موقعیت انیدریت قاعده‌های (کادر سیاه رنگ); (ب) نفت سفید؛ پ) زیلاجی (B) (موقعیت نمک در بخش پایینی سازند آسماری حرف S و انیدریت میانی سازند آسماری حرف A است) (شرکت ملی مناطق نفت خیز جنوب، ۱۳۹۰).

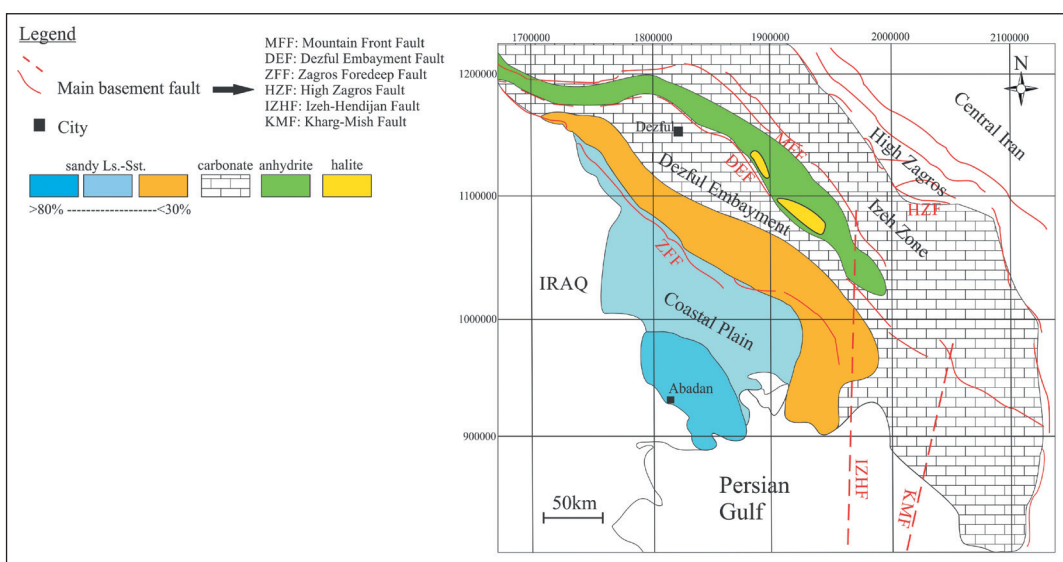


شکل ۱۱- (الف) نقشه هم‌ضخامت انیدریت قاعده‌ای در منطقه مورد مطالعه. ضخامت انیدریت قاعده‌ای به سمت بخش‌های نزدیک به مرکز حوضه فراوانادگی دزفول زیاد شده است؛ (ب) نقشه هم‌ضخامت هالیت نهشته شده بر روی انیدریت قاعده‌ای در منطقه مورد مطالعه. ضخامت هالیت به سمت مرکز حوضه فراوانادگی دزفول افزایش یافته است (دایره و ستاره به ترتیب موقعیت چاهها و رختمنون‌ها را نشان می‌دهند؛ پ) ارتباط جانی بین رخساره‌های تبخیری و کربناته در چاه مورد مطالعه (منطقه فراوانادگی دزفول).

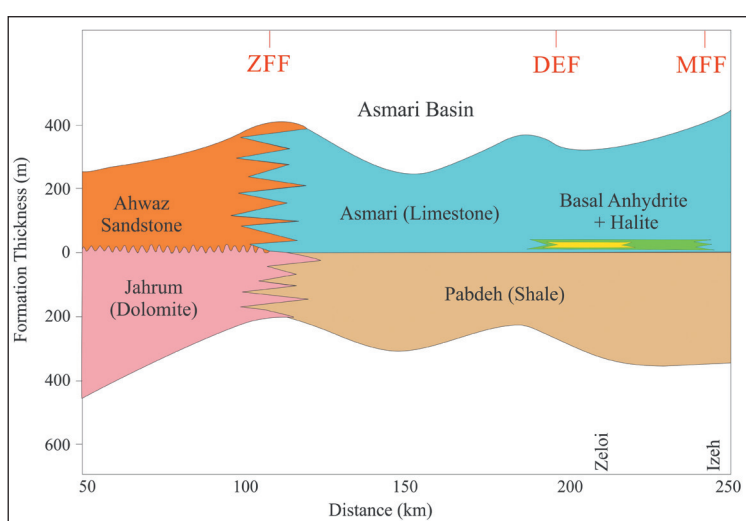
و عمق آن کاهش می‌یابد. هنگامی که تعادل هیدرولوژیکی حوضه برقرار نشود، رسویات تبخیری (ژپس/ انیدریت) نهشته می‌شوند. با ادامه این روند، شرایط برای نهشته شدن هالیت نیز فراهم می‌شود. تا زمانی که امکان نفوذ جریان‌های رودی به حوضه وجود نداشته باشد، سطح رسوی گذاری هالیت شدیداً افزایش می‌یابد و حوضه با هالیت حوضچه‌های نمک‌گیری پر می‌شود. با ایجاد ارتباط حوضه با دریا یا باز دوباره شرایط برای نهشته شدن رسویات کربناته فراهم می‌شود. به طور کلی نهشته شدن انیدریت قاعده‌ای در یک حوضه مجزا و کم عمق (حوضچه‌های نمک‌گیری) بوده که ارتباط محدودی با دریا یا باز داشته و با ادامه فرایند تبخیر و قطع ارتباط با دریا یا باز شرایط برای نهشته شدن هالیت در مرکز حوضه فراهم شده است.

با توجه به بررسی‌های انجام شده در این پژوهش و با اضافه کردن ضخامت نهشته‌های هالیتی به رسویات و واحدهای سازند آسماری، می‌توان مدل ارائه شده توسط James and Wynd (1965)، Berberian and King (1981) و مطیعی (۱۳۷۲) را به صورت شکل‌های ۱۲ و ۱۳ Ahmadhadi et al. (2007) نمایش داد. با توجه به مدل‌ها، نهشته تبخیری از شمال باخترا جنوب خاور از حوضه فروافتادگی دزفول گسترده شده و نهشته هالیتی تنها دو بخش مرکزی از حوضه را به خود اختصاص داده است.

بر اساس نظرات Warren (2016) می‌توان نتیجه گرفت در مراحل آغازین جدا شدن حوضه که ارتباط آن با دریا قطع می‌شود، امکان تشکیل رسویات کربناته در حوضه وجود دارد. با نهشته شدن رسویات کربناته، حوضه شروع به پر شدن می‌کند



شکل ۱۲- نقشه جغرافیای دیرینه زاگرس در زمان میوسن پیشین (اکی تانین). حوضه تبخیری در امتداد شمال باخترا- جنوب خاور گسترش داشته است که بر اساس پژوهش انجام شده، نهشته هالیت در دو بخش مرکزی حوضه فروافتادگی دزفول نهشته شده است (با تغیراتی از James and Wynd, 1965؛ Ahmadhadi et al., 2007؛ Berberian and King, 1981؛ مطیعی، ۱۳۷۲).



شکل ۱۳- با توجه به پژوهش انجام شده اضافه شدن نهشته هالیت در بخش مرکزی حوضه. فروافتادگی دزفول و نقشه پیشنهادی برای گسترش انیدریت قاعده‌ای، MFF: گسل پیشانی کوهستان، DEF: گسل فروافتادگی دزفول ZFF: گسل پیشانی زاگرس (با تغیراتی از Ahmadhadi et al., 2007).

## ۱۰- نتیجه‌گیری

انیدریت، وجود هالیت در بخش پایینی سازند آسماری توسط نگار صوتی و دانسیته تأیید شد. با توجه به حضور ضخامت زیاد هالیت در منطقه مورد مطالعه، قرار گرفتن لایه‌های تبخیری بر روی رسوبات کربناته مناطق کم عمق و نیز حضور بافت‌های مناطق کم عمق در حاشیه حوضه می‌توان بیان کرد که از نظر توپوگرافی حوضه تشکیل شده از نوع حوضه‌های تبخیری حوضه‌گستر بوده که رسوبات منطقه (کمی) عمیق با رسوبات منطقه کم عمق جاشنی شده است. حوضه رسوبی از نوع آب کم عمق- حوضه کم عمق است. به بیان دیگر اگر چه این تبخیری‌ها در موقعیت دور از ساحل یک حوضه رسوبی تشکیل شده‌اند، اما عمق آب در این بخش چندان زیاد نبوده و تبخیرهای منطقه حوضچه‌های نمک‌گیری غالب بوده است.

### سپاسگزاری

نگارندگان از دانشگاه بوعالی سینا به خاطر حمایت‌های مالی و در اختیار گذاشتن امکانات لازم برای انجام این پژوهش و از بخش زمین‌شناسی شرکت ملی مناطق نفت خیز جنوب برای همکاری در نمونه‌برداری کمال تشکر را دارند.

انیدریت قاعده‌ای از واحد تبخیری مهم در قاعده‌ی سازند آسماری است. مجموعه رسوبی انیدریت قاعده‌ای و رسوبات زیرین و بالایی این واحد در ناحیه فروافتادگی ذرفول و حاشیه آن به منظور بررسی محیط رسوبی و تعیین گسترش رسوبات تبخیری مورد مطالعه قرار گرفت. با بررسی رخمنون‌ها در ۷ برش سطحی، سه مجموع رخساره‌ای لاغونی، پهنه میان‌کشندی و فراکشنده برای رسوبات کربناته شناسایی شد. حضور رخساره انیدریت در منطقه مورد مطالعه نشان‌دهنده محیط پهنه فراکشنده از محیط رمپ داخلی است. انیدریت قاعده‌ای با نزدیک شدن به سطح زمین به ریس ثانویه با بافت غالب آلااستر تبدیل شده است. با توجه به ویژگی‌های بیان شده و عدم حضور بافت‌های منطقه پهنه گلی، انیدریت قاعده‌ای را می‌توان به محیط حوضچه‌های نمک-گیری نسبت داد که در یک محیط مجزا و تحت تأثیر آب دریا تشکیل شده است. با توجه به نگار گاما همراه با نگار نوترورونی، نگار صوتی و نگار چگالی در ۱۲ حلقة چاه مشخص شد که در تعدادی از چاه‌ها، بخش پایینی سازند آسماری در تعدادی از چاه‌ها رخساره تبخیری و با ضخامت‌های متفاوت دارد. انیدریت کانی تبخیری موجود در عمق‌های بیش از ۵۰۰ متر است. علاوه بر

### کتابنگاری

- آفاناتی، ع.، ۱۳۸۳- زمین‌شناسی ایران، انتشارات سازمان زمین‌شناسی و اکتشافات معدنی کشور، ۷۰۷ ص.
- رحمانی، س.، ۱۳۹۶- محیط رسوبی و نحوه تشکیل انیدریت قاعده‌ای (سازند آسماری) در رخمنون‌های شمال فروافتادگی ذرفول، جنوب غرب ایران، رساله دکترا، دانشگاه بوعالی سینا همدان.
- رحمانی، ع.، ۱۳۹۰- چینه‌شناسی سازند آسماری در تاقدیس‌های بنگستان و خویز و میدان نفتی پارسی، رساله دکترا، دانشگاه اصفهان.
- شرکت ملی مناطق نفت خیز جنوب، ۱۳۹۰- نتایج چاه‌نگاری میدان‌های فروافتادگی ذرفول، گزارش داخلی، منتشر نشده.
- صیرفیان، ع.، ارزانی، ن.، طاهری، ع.، وزیری، ح. و هاشمی، م.، ۱۳۸۶- گزارش نهایی پژوهه پژوهشی و فناوری، قرارداد شماره: ۸۵۰۸-۸۱، چهار جلد.
- مطیعی، ۵، ۱۳۷۲- چینه‌شناسی زاگرس، طرح تدوین کتاب، زمین‌شناسی ایران، سازمان زمین‌شناسی و اکتشافات معدنی کشور، ۵۳۶ ص.
- مطیعی، ۵، ۱۳۷۴- زمین‌شناسی ایران: زمین‌شناسی نفت زاگرس جلد ۱ و ۲، انتشارات سازمان زمین‌شناسی و اکتشافات معدنی کشور، ۱۰۱۰ ص.

### References

- Abdioğlu, E., Arslan, M., Aydinçakır, D., Gündoğan, İ. and Helvacı, C., 2015- Stratigraphy, mineralogy and depositional environment of the evaporite unit in the Aşkale (Erzurum) sub-basin, Eastern Anatolia (Turkey). *Journal of African Earth Sciences*, v. 111, p. 100- 112. (DOI: 10.1016/j.jafrearsci.2015.07.013)
- Adams, T. D. and Bourgeois, F., 1967- Asmari Biostratigraphy. Report 1074, Tehran, Iranian Oil Operating Companies, Geological and Exploration Division. Unpublished.
- Adams, T. D., 1968- Asmari Formation thickness maps for Khuzestan and Lurestan, with stratigraphic comments. Technical Memo. 49, Tehran, Iranian Oil Operating Companies, Geological and Exploration Division, Unpublished.
- Ahmadvandi, F., Lacombe, O. and Daniel, J. M., 2007- Early reactivation of basement faults in Central Zagros (SW Iran): evidence from pre-folding fracture populations in Asmari Formation and lower Tertiary paleogeography. In *Thrust Belts and Foreland Basins*. Springer, Berlin, Heidelberg, p. 205-228. (DOI: 10.1007/978-3-540-69426-7-11)
- Bakhtiari, S., 2009- Road atlas of Iran. Gitashenasi geographical and cartographic institute publication, Tehran.
- Berberian, M. and King, G.C.P., 1981- Towards a paleogeography and tectonic evolution of Iran. *Canadian Journal of Earth Sciences*, v. 18, p. 210- 265.
- Boggs, S., 2009- Petrology of sedimentary rocks. Cambridge University Press, p. 660.
- Burchette, T. P. and Wright, V. P., 1992- Carbonate ramp depositional systems. *Sedimentary Geology*, v. 79, p. 2- 57. (DOI: 10.1016/0037-0738(92)90003-A).
- Buxton, M. W. N. and Pedley, H. M., 1989- A standardized model for Thehyan Tertiary carbonates ramps. *Journal of the Geological Society*, London, v. 149, p. 746- 748. (DOI: 10.1144/gsjgs.146.5.0746).
- Daraei, M., Amini A. and Ansari, M., 2014- Facies analysis and depositional environment study of the mixed carbonate–evaporite Asmari Formation (Oligo-Miocene) in the sequence stratigraphic framework, NW Zagros, Iran. *Carbonates and Evaporites*, v. 30, p. 253- 272. (DOI: 10.1007/s13146-014-0207-4).

- Dunham, R. J., 1962- Classification of Carbonate Rocks According to Depositional Texture. In: Classification of Carbonate Rocks, a Symposium ed. W. Ham. AAPG, Mem 1, p. 108- 121.
- Flügel, E., 2010- Microfacies of Carbonate Rocks Analysis, Interpretation and Application New Perspectives in Microfacies. Springer Berlin Heidelberg, p. 984. (DOI: 10.1007/10.1007/978-3-642-03796-2).
- Guyotte, E., 1993- Log interpretation memento quick-look. Elf aquitaine production, p. 48.
- Irwin, M. L., 1965- General theory of epeiric clear water sedimentation. AAPG Bulletin, v. 49, p. 445- 459. (DOI: 10.1306/A6633632-16C0-11D7-8645000102C1865D).
- James, G. A. and Wynd, J. G., 1965- Stratigraphic nomenclature of Iranian oil consortium, agreement area. AAPG Bulletin, v. 49, p. 2182-2245. (DOI: 10.1306/A663388A-16C0-11D7-8645000102C1865D).
- Kavoosi, M. A. and Sherkati, Sh., 2012- Depositional environments of the Kaljur Member evaporates and tectonosedimentary evolution of the Zagros fold-thrust belt during Early Miocene in south westernmost of Iran. Carbonates and Enaporites, v. 27, p. 55- 69. (DOI: 10.1007/s13146-012-0084-7).
- Kendall, A. C., 1992 \_ Evaporites. In R.G. Walker, James, N.P. eds. Facies Models: Responses to sea level change, Geological Association of Canada, p. 375- 409.
- Ortí, F., Rosell, L. and Anadón, P., 2010- Diagenetic gypsum related to sulfur deposits in evaporites (Libros Gypsum, Miocene, NE Spain). Sedimentary Geology, v. 228(3), p. 304- 318. (DOI: 10.1016/j.sedgeo.2010.05.005).
- Ortí, F., Rosell, L., Playà, E. and Salvany, J. M., 2012- Meganodular anhydritization: a new mechanism of gypsum to anhydrite conversion (Palaeogene–Neogene, Ebro Basin, North-East Spain). Sedimentology, v. 59(4), p. 1257-1277. (DOI: 10.1111/j.1365-3091.2011.01305.x).
- Rafiei, B. and Rahmani, S., 2017- Textural pattern of secondary gypsum in the Basal Anhydrite of the Asmari Formation, SW Iran. Geopersia, v. 7(2), p. 267- 278. (DOI: 10.22059/GEOPE.2017.229055.648305).
- Sherkati, S. and Letouzey, J., 2004- Variation of structural style and basin evolution in the central Zagros Izeh Zone and Dezful Embayment, Iran. Marine and Petroleum Geology, v.21, p. 535- 554. (DOI: 10.1016/j.marpetgeo.2004.01.007).
- Tiab, D. and Donaldson, E. C., 2004- Petrophysics: theory and practice of measuring reservoir rock and fluid transport properties. Elsevier. p. 889.
- Urai, J. L., Schléder, Z., Spiers, C. J. and Kukla, P. A., 2008- Flow and Transport Properties of Salt Rocks. In R. Littke, ed. Dynamics of complex intracontinental basins: The Central European BasinSystem, Elsevier, p. 277–290.
- Van Buchem, F. S. P., Allan, T. L., Laursen, G. V., Lotfpour, M., Moallemi, A., Monibi, S., Motiei, H., Pickard, N. A. H., Tahmasbi, A. R., Vedrenne, V. and Vincent, B., 2010- Regional stratigraphic architecture and reservoir types of the Oligo-Miocene deposits in the Dezful Embayment (Asmari and Pabdeh Formations), SW Iran. Geological Society, London, special publications, v. 329, p. 219- 263. (DOI: 10.1144/sp329.10).
- Vaziri-Moghaddam, H., Seyrafian, A., Taheri, A. and Motiei, H., 2010- Oligocene-Miocene ramp system (Asmari Formation) in the NW of the Zagros basin, Iran. Microfacies, paleoenvironment and depositional sequence: Revista Mexicana de Ciencias Geológicas, v. 27, p. 56- 71. ([http://satori.geociencias.unam.mx/27-1/\(05\)Vaziri.pdf](http://satori.geociencias.unam.mx/27-1/(05)Vaziri.pdf)).
- Warren, J. K., 1989- Evaporite sedimentology: Importance in hydrocarbon accumulation: Englewood Cliffs, Prentic-Hall, p. 285.
- Warren, J. K., 2006- Evaporites: Sediments, Resources and Hydrocarbons. Berlin, Springer, p. 1036. (DOI: 10.1007/3-540-32344-9).
- Warren, J. K., 2016- Evaporites: A geological compendium. Springer. p. 1813. (DOI: 10.1007/978-3-319-39193-9\_100-1).
- Wilson, J. L., 1975- The lower carboniferous Waulsortian facies. Carbonate Facies in Geological History. Springer, Verlag, New York, p. 471. (DOI: 10.1007/978-1-4612-6383-8\_5).

# Depositional environments and the extension of basal anhydrite (Asmari Formation) evaporitic facies in the Dezful embayment and surrounding areas, SW Iran

S. Rahmani<sup>1</sup> and B. Rafiei<sup>2\*</sup>

<sup>1</sup>Ph.D., Department of Geology, University of Bu-Ali Sina, Hamedan, Iran

<sup>2</sup>Associate Professor, Department of Geology, University of Bu-Ali Sina, Hamedan, Iran

Received: 2017 May 25

Accepted: 2018 August 05

## Abstract

The Oligo-Miocene Asmari Formation consists of carbonate facies with lesser amount of evaporites. The evaporite unit deposited at the base of the Asmari Formation is called the Basal Anhydrite. Depositional model was investigated using field data, geophysical logs and the Basal Anhydrite facies in the Dezful Embayment (DE). Seven microfacies were recognized in seven outcrops located in the Bangestan, Sefid, Asmari and Anaran anticlines. They were deposited in tidal flat and lagoon environments of inner ramp. Anhydrite facies is a distinct and pure evaporite unit with no carbonate components. Two main textures, fine crystalline (alabastrine) and coarse crystalline (porphyroblast), were distinguished in samples indicating replacement of anhydrite by gypsum. Gamma ray, neutron, sonic and density logs of 20 wells in 15 oilfields in the DE indicate that evaporite facies, present at the base of the Asmari Formation, is composed of anhydrite and halite. Anhydrite is present in the most of the DE wells and halite and small amount of anhydrite are present in three central wells. The results of geophysical logs and microfacies studies of the Asmari Formation reveal shallow water-shallow basin environment for the Basal Anhydrite.

**Keywords:** Basal Anhydrite, Dezful Embayment, Asmari Formation, Geophysical logs.

For Persian Version see pages 101 to 114

\*Corresponding author: B. Rafiei; E-mail: b\_rafiei@basu.ac.ir